



Низкие динамические потери
 Малый заряд обратного восстановления
 Разветвленный управляющий электрод для
 высоких скоростей нарастания тока

Быстродействующий Импульсный Тиристор Тип ТБЧ153-800-14

Максимально допустимый средний ток в открытом состоянии	I_{TAV}	800 А			
Повторяющееся импульсное напряжение в закрытом состоянии	U_{DRM}	1000...1400 В			
Повторяющееся импульсное обратное напряжение	U_{RRM}				
Время выключения	t_q	8.0, 10.0, 12.5, 16.0 μ s			
$U_{DRM}, U_{RRM}, В$	1000	1100	1200	1300	1400
Класс по напряжению	10	11	12	13	14
$T_j, ^\circ C$	-60...+125				

ПРЕДЕЛЬНО ДОПУСТИМЫЕ ЗНАЧЕНИЯ ПАРАМЕТРОВ

Обозначение и наименование параметра		Ед. изм.	Значение	Условия измерения	
Параметры в проводящем состоянии					
I_{TAV}	Максимально допустимый средний ток в открытом состоянии	А	800 1145	$T_c=83^\circ C$; двухстороннее охлаждение; $T_c=55^\circ C$; двухстороннее охлаждение; 180 эл. град. синус; 50 Гц	
I_{TRMS}	Действующий ток в открытом состоянии	А	1256	$T_c=83^\circ C$; двухстороннее охлаждение; 180 эл. град. синус; 50 Гц	
I_{TSM}	Ударный ток в открытом состоянии	кА	18.0 21.0	$T_j=T_{jmax}$ $T_j=25^\circ C$	180 эл. град. синус; $t_p=10$ мс; единичный импульс; $U_D=U_R=0$ В; Импульс управления: $I_G=I_{FGM}$; $U_G=20$ В; $t_{GP}=50$ мкс; $di_G/dt=1$ А/мкс
			19.0 22.0	$T_j=T_{jmax}$ $T_j=25^\circ C$	180 эл. град. синус; $t_p=8.3$ мс; единичный импульс; $U_D=U_R=0$ В; Импульс управления: $I_G=I_{FGM}$; $U_G=20$ В; $t_{GP}=50$ мкс; $di_G/dt=1$ А/мкс
I^2t	Защитный показатель	$A^2c \cdot 10^3$	1600 2200	$T_j=T_{jmax}$ $T_j=25^\circ C$	180 эл. град. синус; $t_p=10$ мс; единичный импульс; $U_D=U_R=0$ В; Импульс управления: $I_G=I_{FGM}$; $U_G=20$ В; $t_{GP}=50$ мкс; $di_G/dt=1$ А/мкс
			1400 2000	$T_j=T_{jmax}$ $T_j=25^\circ C$	180 эл. град. синус; $t_p=8.3$ мс; единичный импульс; $U_D=U_R=0$ В; Импульс управления: $I_G=I_{FGM}$; $U_G=20$ В; $t_{GP}=50$ мкс; $di_G/dt=1$ А/мкс

Блокирующие параметры				
U_{DRM}, U_{RRM}	Повторяющееся импульсное обратное напряжение и повторяющееся импульсное напряжение в закрытом состоянии	В	1000...1400	$T_{j\ min} < T_j < T_{j\ max}$; 180 эл. град. синус; 50 Гц; управление разомкнуто
U_{DSM}, U_{RSM}	Неповторяющееся импульсное обратное напряжение и неповторяющееся импульсное напряжение в закрытом состоянии	В	1100...1500	$T_{j\ min} < T_j < T_{j\ max}$; 180 эл. град. синус; единичный импульс; управление разомкнуто
U_D, U_R	Постоянное обратное и постоянное прямое напряжение	В	$0.6 \cdot U_{DRM}$ $0.6 \cdot U_{RRM}$	$T_j = T_{j\ max}$; управление разомкнуто
Параметры управления				
I_{FGM}	Максимальный прямой ток управления	А	8	$T_j = T_{j\ max}$
U_{RGM}	Максимальное обратное напряжение управления	В	5	
P_G	Максимальная рассеиваемая мощность по управлению	Вт	8	$T_j = T_{j\ max}$ для постоянного тока управления
Параметры переключения				
$(di_T/dt)_{crit}$	Критическая скорость нарастания тока в открытом состоянии ($f=1\ Hz$)	А/мкс	2500	$T_j = T_{j\ max}$; $U_D = 0.67 \cdot U_{DRM}$; $I_{TM} = 2 I_{TAV}$; Импульс управления: $I_G = 2\ A$; $U_G = 20\ В$; $t_{GP} = 50\ мкс$; $di_G/dt = 2\ A/мкс$
Тепловые параметры				
T_{stg}	Температура хранения	°С	-60...+50	
T_j	Температура р-п перехода	°С	-60...+125	
Механические параметры				
F	Монтажное усилие	кН	24.0...28.0	
a	Ускорение	м/с ²	50	В зажатом состоянии

ХАРАКТЕРИСТИКИ

Обозначение и наименование характеристики	Ед. изм.	Значение	Условия измерения	
Характеристики в проводящем состоянии				
U_{TM}	Импульсное напряжение в открытом состоянии, макс	В	2.60	$T_j = 25\ ^\circ C$; $I_{TM} = 2512\ A$
$U_{T(TO)}$	Пороговое напряжение, макс	В	1.50	$T_j = T_{j\ max}$; $0.5 \pi I_{TAV} < I_T < 1.5 \pi I_{TAV}$
r_T	Динамическое сопротивление в открытом состоянии, макс	МОм	0.50	
I_H	Ток удержания, макс	мА	500	$T_j = 25\ ^\circ C$; $U_D = 12\ В$; управление разомкнуто
Блокирующие характеристики				
I_{DRM}, I_{RRM}	Повторяющийся импульсный обратный ток и повторяющийся импульсный ток в закрытом состоянии, макс	мА	150	$T_j = T_{j\ max}$; $U_D = U_{DRM}$; $U_R = U_{RRM}$
$(du_D/dt)_{crit}$	Критическая скорость нарастания напряжения в закрытом состоянии ¹⁾ , мин	В/мкс	200, 320, 500, 1000	$T_j = T_{j\ max}$; $U_D = 0.67 \cdot U_{DRM}$; управление разомкнуто

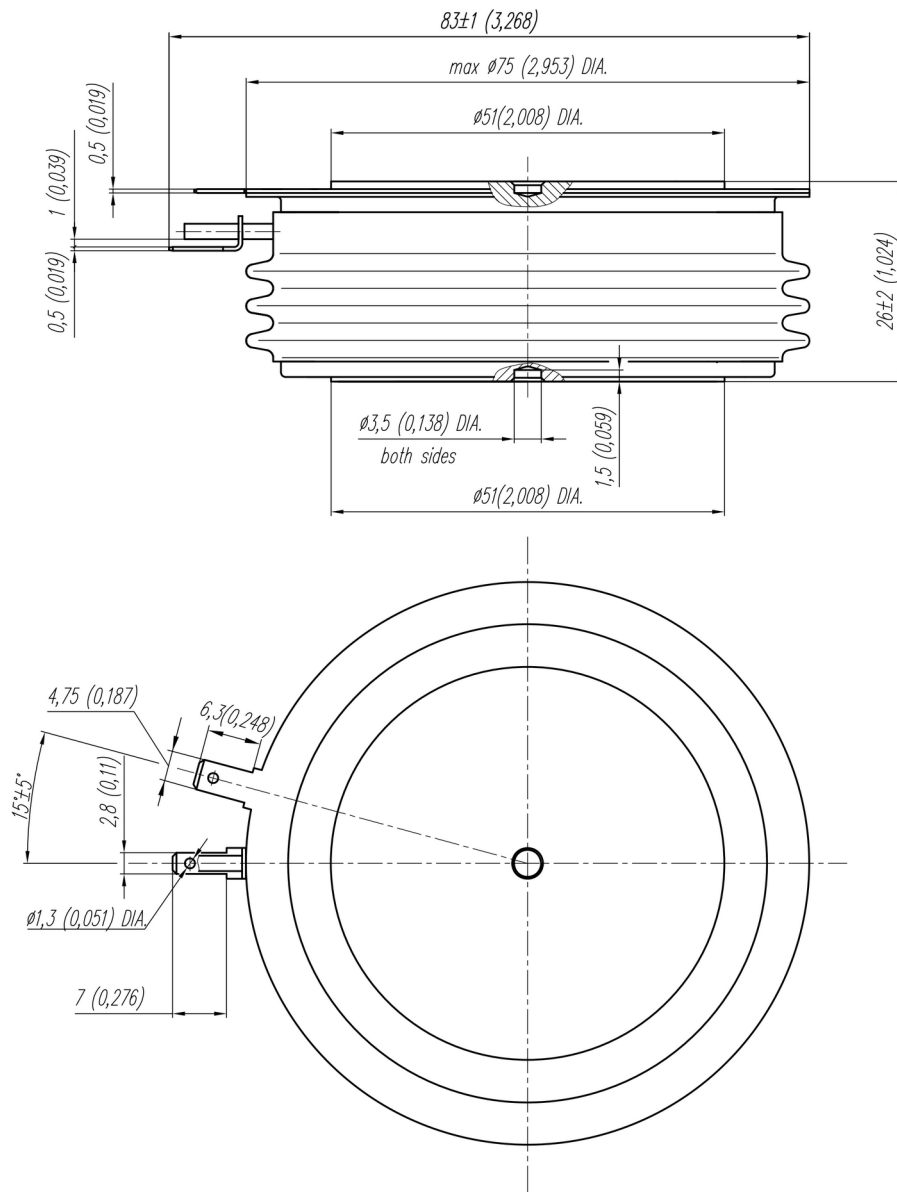
Характеристики управления					
U_{GT}	Отпирающее постоянное напряжение управления, макс	В	4.00 2.50 2.00	$T_j = T_{j \min}$ $T_j = 25 \text{ }^\circ\text{C}$ $T_j = T_{j \max}$	$U_D = 12 \text{ В}; I_D = 3 \text{ А};$ Постоянный ток управления
I_{GT}	Отпирающий постоянный ток управления, макс	мА	500 300 200	$T_j = T_{j \min}$ $T_j = 25 \text{ }^\circ\text{C}$ $T_j = T_{j \max}$	
U_{GD}	Неотпирающее постоянное напряжение управления, мин	В	0.25	$T_j = T_{j \max};$ $U_D = 0.67 \cdot U_{DRM};$	Постоянный ток управления
I_{GD}	Неотпирающий постоянный ток управления, мин	мА	10.00	Постоянный ток управления	

Динамические характеристики					
t_{gd}	Время задержки включения, макс	мкс	0.80	$T_j = 25 \text{ }^\circ\text{C}; U_D = 600 \text{ В}; I_{TM} = I_{TAV};$ $di/dt = 200 \text{ А/мкс};$	
t_{gt}	Время включения ²⁾ , макс	мкс	1.60, 2.00, 2.50, 3.20	Импульс управления: $I_G = 2 \text{ А}; U_G = 20 \text{ В};$ $t_{GP} = 50 \text{ мкс}; di_G/dt = 2 \text{ А/мкс}$	
t_q	Время выключения ³⁾ , макс	мкс	8.0, 10.0, 12.5, 16.0	$du_D/dt = 50 \text{ В/мкс};$	$T_j = T_{j \max}; I_{TM} = I_{TAV};$ $di_R/dt = -10 \text{ А/мкс};$ $U_R = 100 \text{ В};$ $U_D = 0.67 U_{DRM}$
			10.0, 12.5, 16.0, 20.0	$du_D/dt = 200 \text{ В/мкс};$	
Q_{rr}	Заряд обратного восстановления, макс	мкКл	100	$T_j = T_{j \max}; I_{TM} = I_{TAV};$ $di_R/dt = -50 \text{ А/мкс};$ $U_R = 100 \text{ В}$	
t_{rr}	Время обратного восстановления, макс	мкс	3.2		
I_{rr}	Обратный ток восстановления, макс	А	80		

Тепловые характеристики					
R_{thjc}	Тепловое сопротивление р-п переход-корпус, макс	$^\circ\text{C/Вт}$	0.0210	Постоянный ток	Двухстороннее охлаждение
R_{thjc-A}			0.0462		Охлаждение со стороны анода
R_{thjc-K}			0.0378		Охлаждение со стороны катода
R_{thck}	Тепловое сопротивление корпус-охладитель, макс	$^\circ\text{C/Вт}$	0.0040	Постоянный ток	

Механические характеристики					
m	Масса, макс	г	530		
D_s	Длина пути тока утечки по поверхности	мм (дюйм)	29.47 (1.160)		
D_a	Длина пути тока утечки по воздуху	мм (дюйм)	17.50 (0.689)		

МАРКИРОВКА								ПРИМЕЧАНИЕ																																		
ТБЧ	153	800	14	A2	V4	T4	УХЛ2	¹⁾ Критическая скорость нарастания напряжения в закрытом состоянии <table border="1"> <thead> <tr> <th>Обозначение группы</th> <th>P2</th> <th>K2</th> <th>E2</th> <th>A2</th> </tr> </thead> <tbody> <tr> <td>$(du_D/dt)_{crit}, \text{ В/мкс}$</td> <td>200</td> <td>320</td> <td>500</td> <td>1000</td> </tr> </tbody> </table> ²⁾ Время включения <table border="1"> <thead> <tr> <th>Обозначение группы</th> <th>T4</th> <th>P4</th> <th>M4</th> <th>K4</th> </tr> </thead> <tbody> <tr> <td>$t_{gt}, \text{ мкс}$</td> <td>1.60</td> <td>2.00</td> <td>2.50</td> <td>3.20</td> </tr> </tbody> </table> ³⁾ Время выключения ($du_D/dt = 50 \text{ В/мкс}$) <table border="1"> <thead> <tr> <th>Обозначение группы</th> <th>V4</th> <th>A4</th> <th>X3</th> <th>T3</th> </tr> </thead> <tbody> <tr> <td>$t_q, \text{ мкс}$</td> <td>8.0</td> <td>10.0</td> <td>12.5</td> <td>16.0</td> </tr> </tbody> </table>					Обозначение группы	P2	K2	E2	A2	$(du_D/dt)_{crit}, \text{ В/мкс}$	200	320	500	1000	Обозначение группы	T4	P4	M4	K4	$t_{gt}, \text{ мкс}$	1.60	2.00	2.50	3.20	Обозначение группы	V4	A4	X3	T3	$t_q, \text{ мкс}$	8.0	10.0	12.5	16.0
Обозначение группы	P2	K2	E2	A2																																						
$(du_D/dt)_{crit}, \text{ В/мкс}$	200	320	500	1000																																						
Обозначение группы	T4	P4	M4	K4																																						
$t_{gt}, \text{ мкс}$	1.60	2.00	2.50	3.20																																						
Обозначение группы	V4	A4	X3	T3																																						
$t_q, \text{ мкс}$	8.0	10.0	12.5	16.0																																						
1	2	3	4	5	6	7	8																																			
1. Быстродействующий высокочастотный тиристор 2. Конструктивное исполнение 3. Средний ток в открытом состоянии, А 4. Класс по напряжению 5. Критическая скорость нарастания напряжения в закрытом состоянии 6. Группа по времени выключения ($du_D/dt = 50 \text{ В/мкс}$) 7. Группа по времени включения 8. Климатическое исполнение по ГОСТ 15150: УХЛ2, Т2																																										



Все размеры в миллиметрах (дюймах)

Содержащаяся здесь информация является конфиденциальной и находится под защитой авторских прав. В интересах улучшения качества продукции, АО «Протон-Электротекс» оставляет за собой право изменять информационные листы без уведомления.

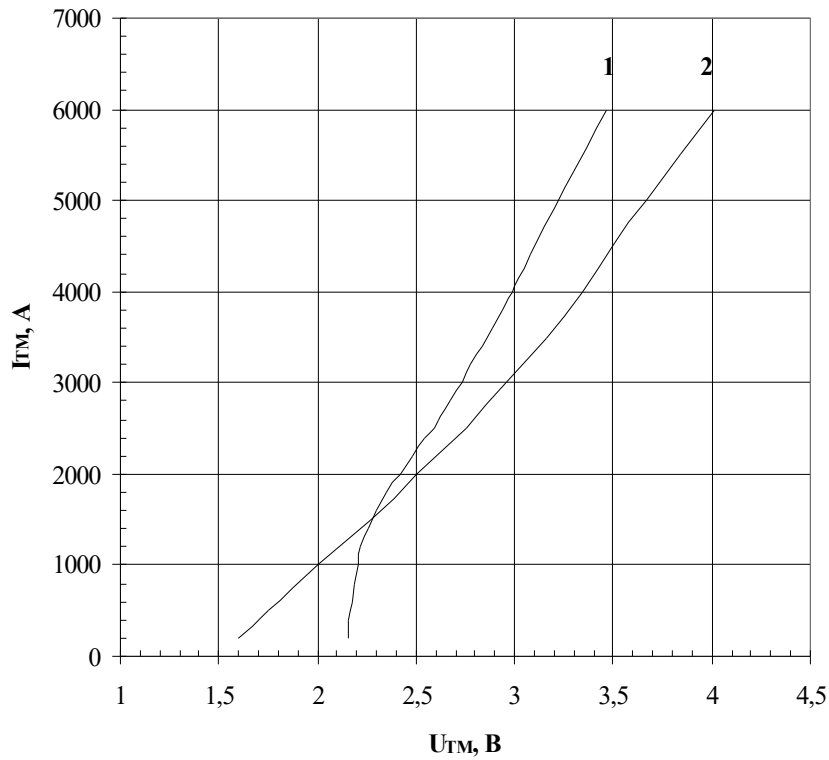
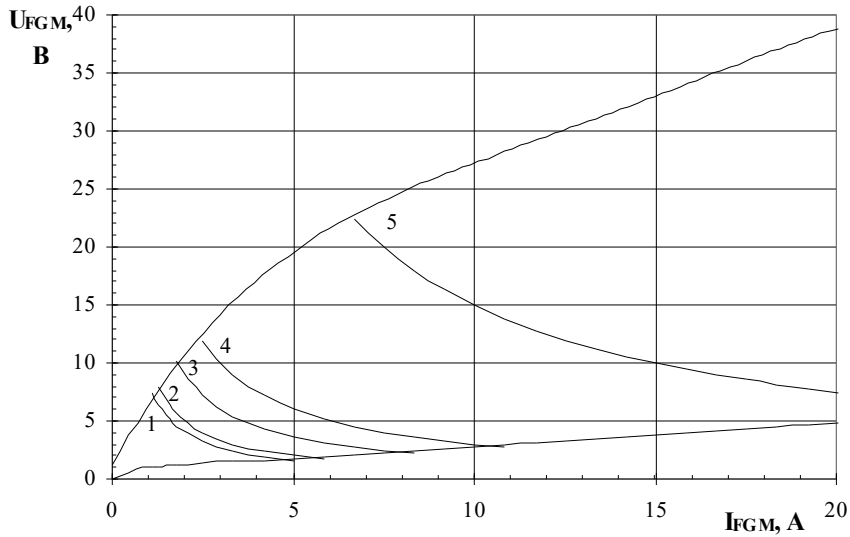


Рис.1 – Предельная вольт-амперная характеристика.
 1 – $T_j = 25^\circ\text{C}$
 2 – $T_j = 125^\circ\text{C}$



Максимальные потери мощности цепи управления

Позиция	Коеф. времени вкл.-выкл.	Длина импульса управл., мс	Энергия импульса цепи управл., Вт
1	1	DC	8
2	2	10	10
3	20	1	18
4	40	0.5	30
5	200	0.1	150

Рис.2 — Вольт-амперная характеристика цепи управления

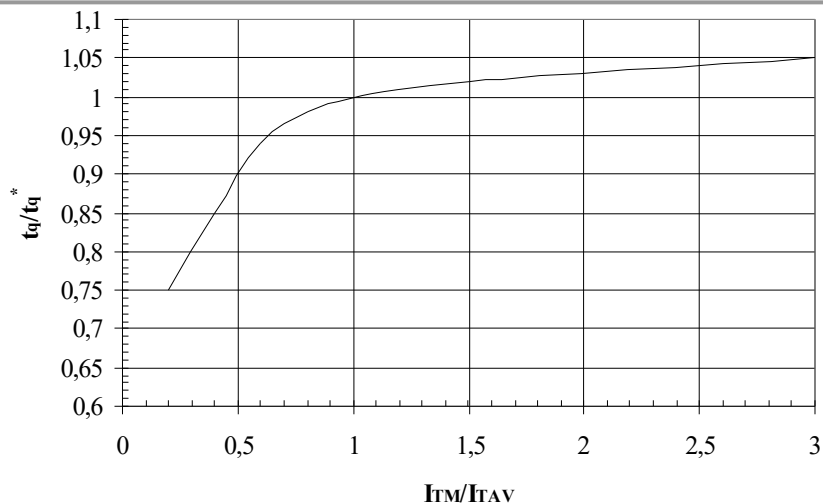


Рис. 3 — Зависимость времени выключения t_q от амплитуды тока в открытом состоянии I_{TM}

Условия: $T_j=T_{j\max}$; $di_R/dt=10$ А/мкс; $U_R=100$ В; $du_D/dt=50$ В/мкс; $U_D=0.67 \cdot U_{DRM}$

Типичное изменение t_q относительно нормированного t_q^* (t_q^* – см. информационный лист, $du_D/dt=50$ В/мкс)

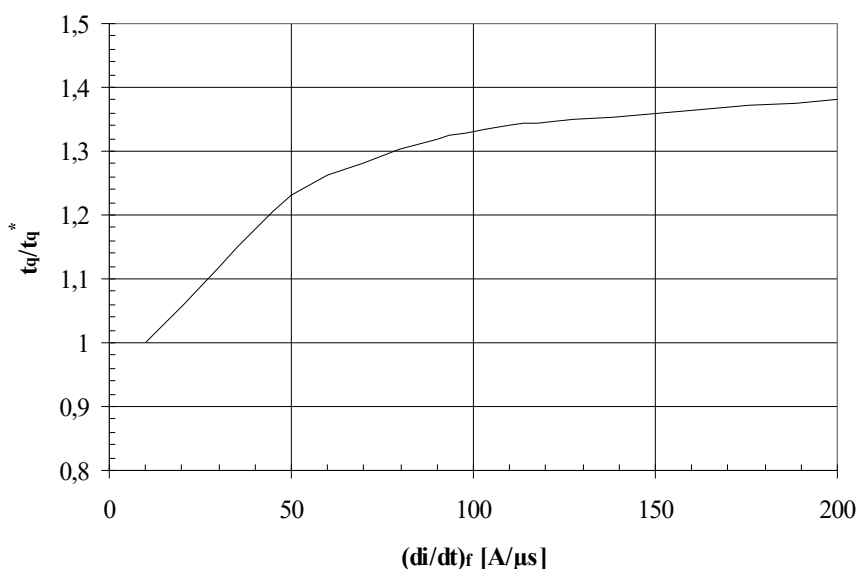


Рис. 4 — Зависимость времени выключения t_q от скорости спада анодного тока di_R/dt

Условия: $T_j=T_{j\max}$; $I_{TM}=I_{TAV}$; $U_R=100$ В; $du_D/dt=50$ В/мкс; $U_D=0.67 \cdot U_{DRM}$

Типичное изменение t_q относительно нормированного t_q^* (t_q^* – см. информационный лист, $du_D/dt=50$ В/мкс)

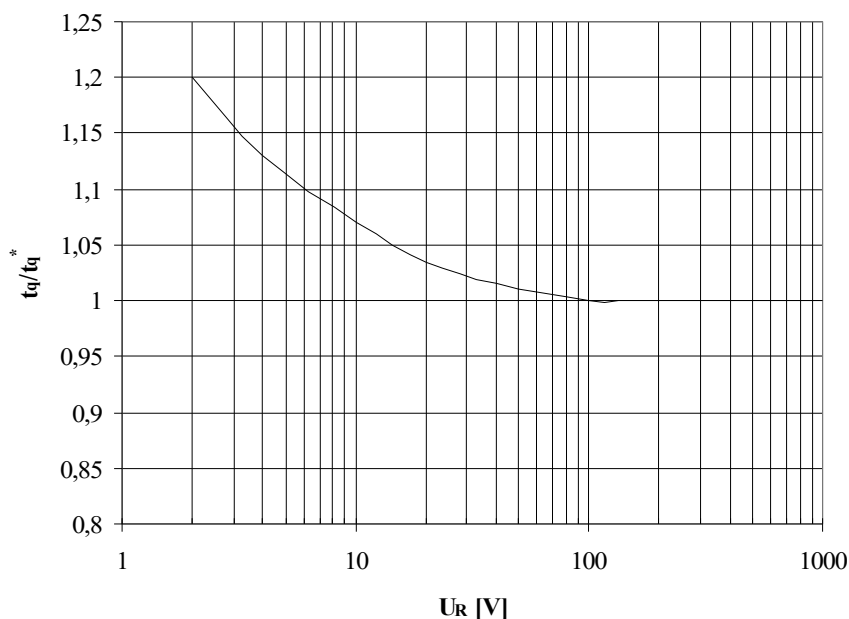


Рис. 5 — Зависимость времени выключения t_q от обратного напряжения U_R

Условия: $T_j=T_{j\max}$; $I_{TM}=I_{TAV}$; $di_R/dt=10$ А/мкс; $du_D/dt=50$ В/мкс; $U_D=0.67 \cdot U_{DRM}$

Типичное изменение t_q относительно нормированного t_q^* (t_q^* – см. информационный лист, $du_D/dt=50$ В/мкс)

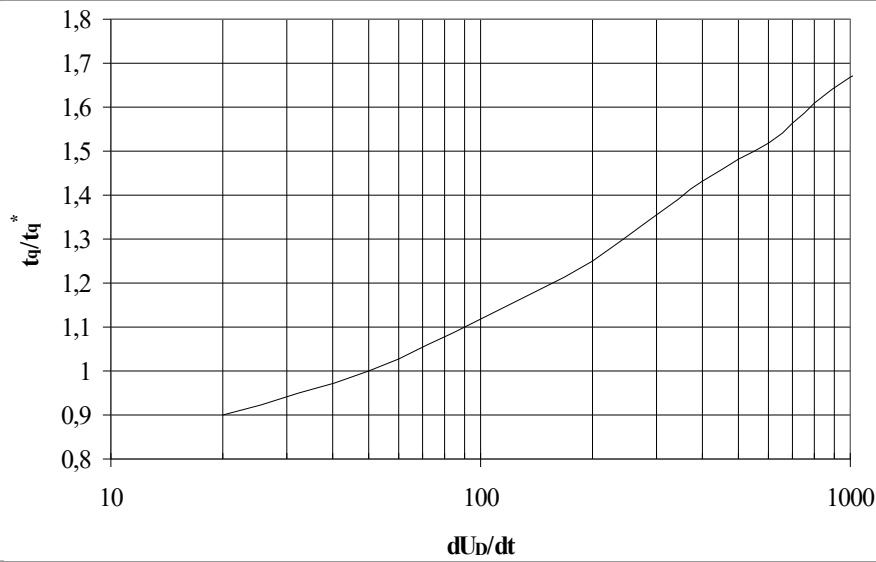


Рис. 6 — Зависимость времени выключения t_q от скорости нарастания напряжения du_D/dt

Условия: $T_j = T_{j \max}$; $I_{TM} = I_{TAV}$; $di_R/dt = 10$ А/мкс; $U_R = 100$ В; $U_D = 0.67 \cdot U_{DRM}$

Типичное изменение t_q относительно нормированного t_q^* (t_q^* — см. информационный лист, $du_D/dt = 50$ В/мкс)

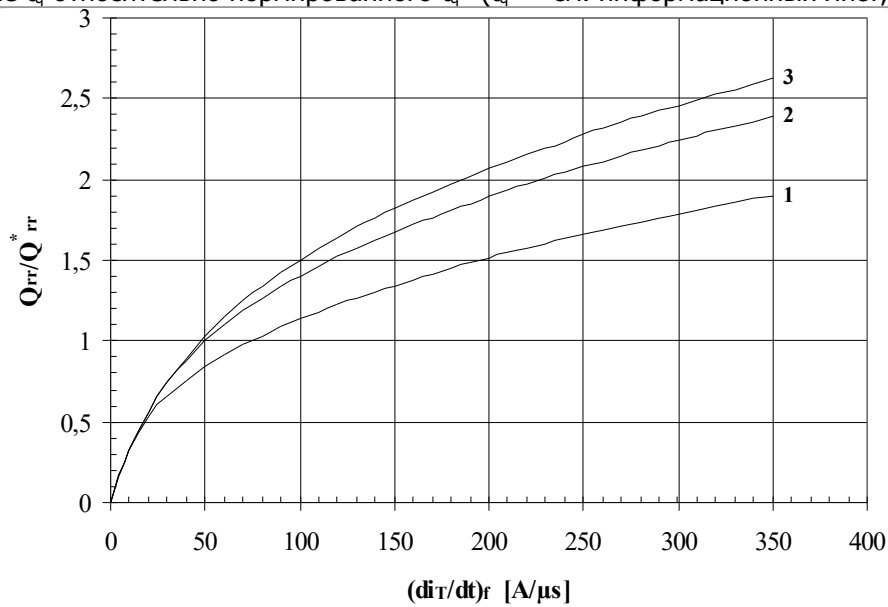


Рис. 7 — Зависимость заряда обратного восстановления Q_{rr} от скорости спада анодного тока di_R/dt

- 1 — $I_{TM} = 0.5 \cdot I_{TAV}$
- 2 — $I_{TM} = I_{TAV}$
- 3 — $I_{TM} = 1.5 \cdot I_{TAV}$

Условия: $T_j = T_{j \max}$; $U_R = 100$ В

Типичное изменение Q_{rr} относительно нормированного Q_{rr}^* (Q_{rr}^* — см. информационный лист)

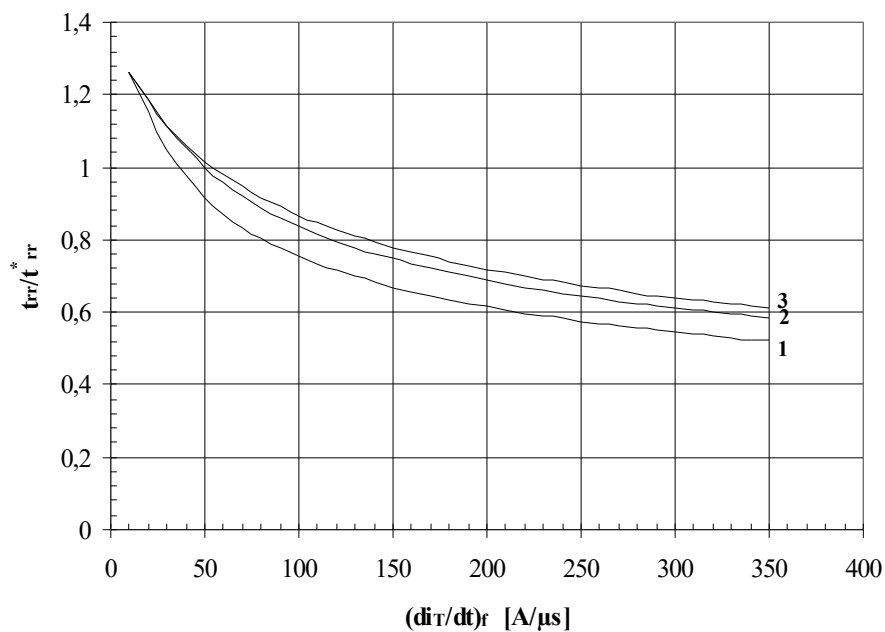


Рис. 8 — Зависимость времени обратного восстановления t_{rr} от скорости спада анодного тока di_r/dt

1 - $I_{TM} = 0.5 \cdot I_{TAV}$

2 - $I_{TM} = I_{TAV}$,

3 - $I_{TM} = 1.5 \cdot I_{TAV}$

Условия: $T_j = T_{j \max}$; $U_R = 100$ В

Типичное изменение t_{rr} относительно нормированного t_{rr}^* (t_{rr}^* – см. информационный лист)

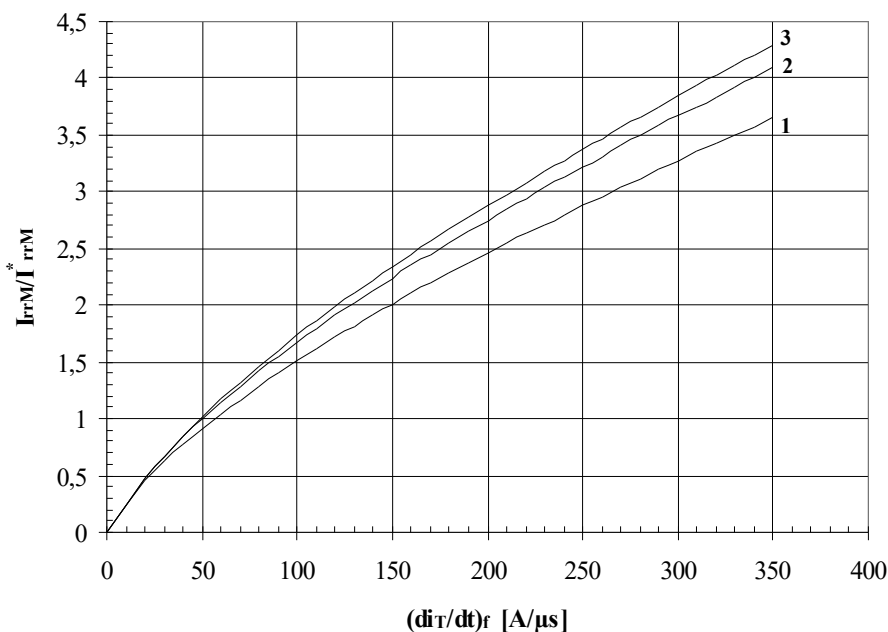


Рис. 9 — Максимальная зависимость обратного тока восстановления I_{rr} от скорости спада анодного тока di_r/dt

1 - $I_{TM} = 0.5 \cdot I_{TAV}$

2 - $I_{TM} = I_{TAV}$,

3 - $I_{TM} = 1.5 \cdot I_{TAV}$

Условия: $T_j = T_{j \max}$; $U_R = 100$ В

Типичное изменение I_{rr} относительно нормированного I_{rr}^* (I_{rr}^* – см. информационный лист)

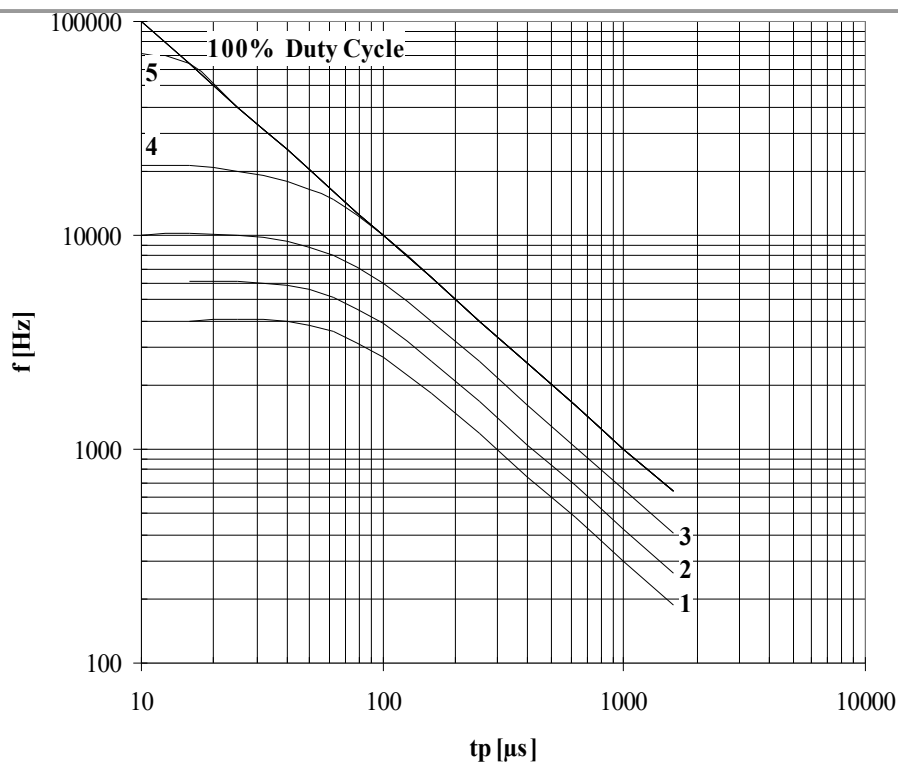


Рис. 10 — Зависимость частоты синусоидальных импульсов тока от длительности импульсов тока

- 1 - $I_{TM} = 5000 \text{ A}$
- 2 - $I_{TM} = 4000 \text{ A}$
- 3 - $I_{TM} = 3000 \text{ A}$
- 4 - $I_{TM} = 2000 \text{ A}$
- 5 - $I_{TM} = 1000 \text{ A}$

Условия: $U_R \leq 3 \text{ В}$; $T_C = 55 \text{ }^\circ\text{C}$

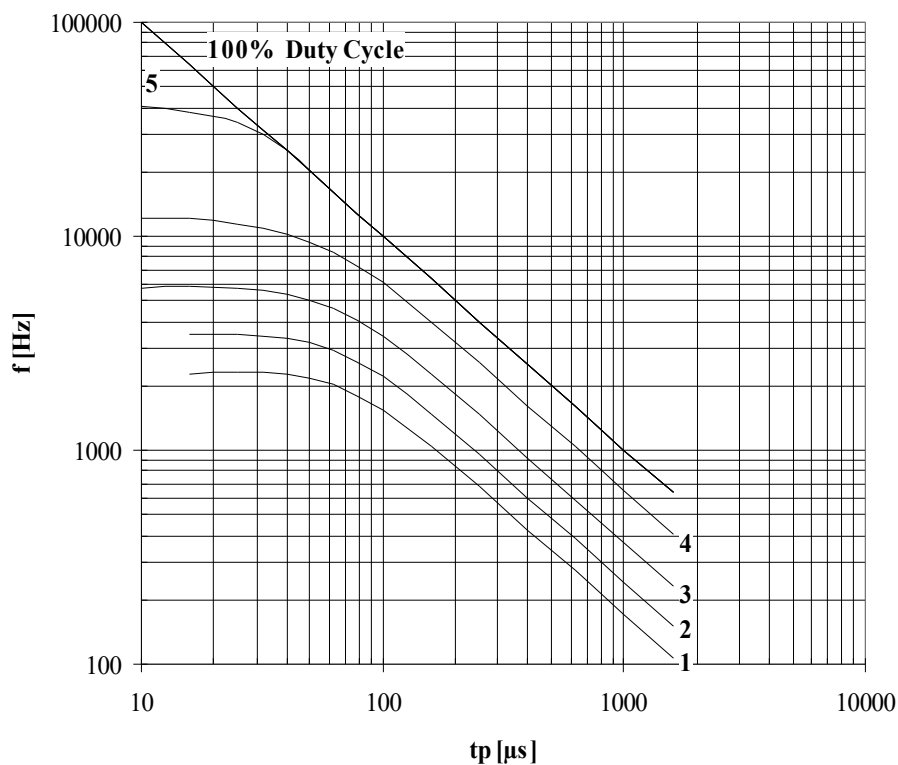


Рис. 11 — Зависимость частоты синусоидальных импульсов тока от длительности импульсов тока

- 1 - $I_{TM} = 5000 \text{ A}$
- 2 - $I_{TM} = 4000 \text{ A}$
- 3 - $I_{TM} = 3000 \text{ A}$
- 4 - $I_{TM} = 2000 \text{ A}$
- 5 - $I_{TM} = 1000 \text{ A}$

Условия: $U_R \leq 3 \text{ В}$; $T_C = 83 \text{ }^\circ\text{C}$

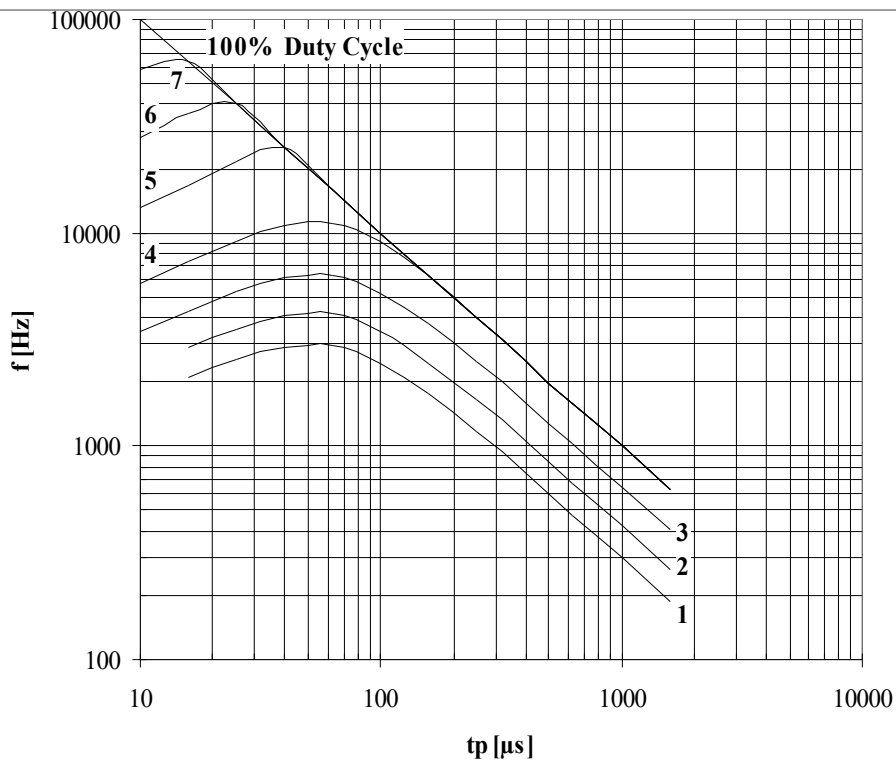


Рис. 12 — Зависимость частоты синусоидальных импульсов тока от длительности импульсов тока

- 1 - $I_{TM} = 5000 \text{ A}$
- 2 - $I_{TM} = 4000 \text{ A}$
- 3 - $I_{TM} = 3000 \text{ A}$
- 4 - $I_{TM} = 2000 \text{ A}$
- 5 - $I_{TM} = 1000 \text{ A}$
- 6 - $I_{TM} = 500 \text{ A}$
- 7 - $I_{TM} = 250 \text{ A}$

Условия: $U_R = 0.67 \cdot U_{RRM}$; $T_C = 55 \text{ }^\circ\text{C}$

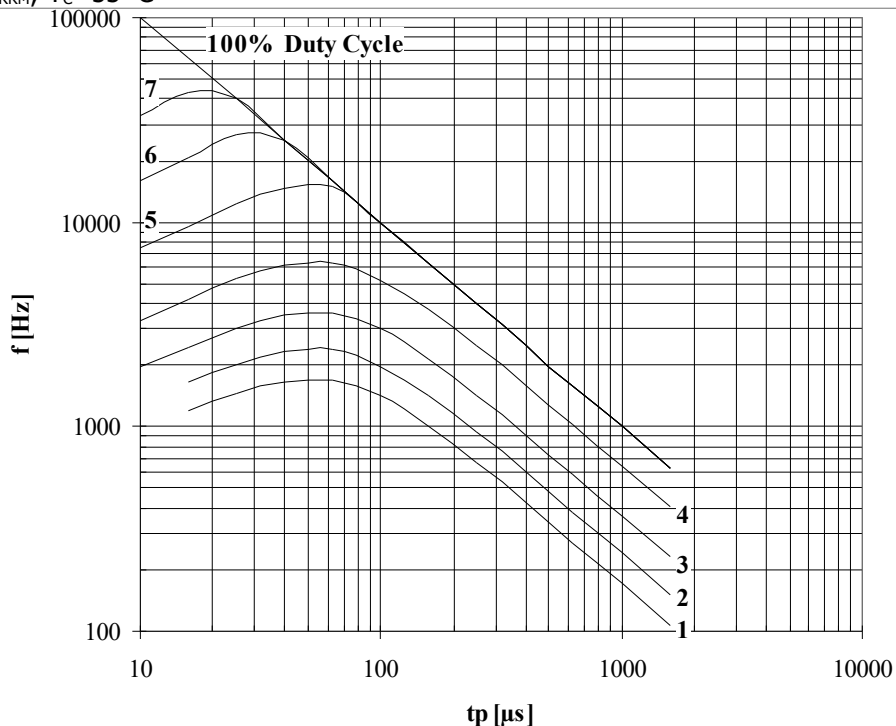


Рис. 13 — Зависимость частоты синусоидальных импульсов тока от длительности импульсов тока

- 1 - $I_{TM} = 5000 \text{ A}$
- 2 - $I_{TM} = 4000 \text{ A}$
- 3 - $I_{TM} = 3000 \text{ A}$
- 4 - $I_{TM} = 2000 \text{ A}$
- 5 - $I_{TM} = 1000 \text{ A}$
- 6 - $I_{TM} = 500 \text{ A}$
- 7 - $I_{TM} = 250 \text{ A}$

Условия: $U_R = 0.67 \cdot U_{RRM}$; $T_C = 83 \text{ }^\circ\text{C}$

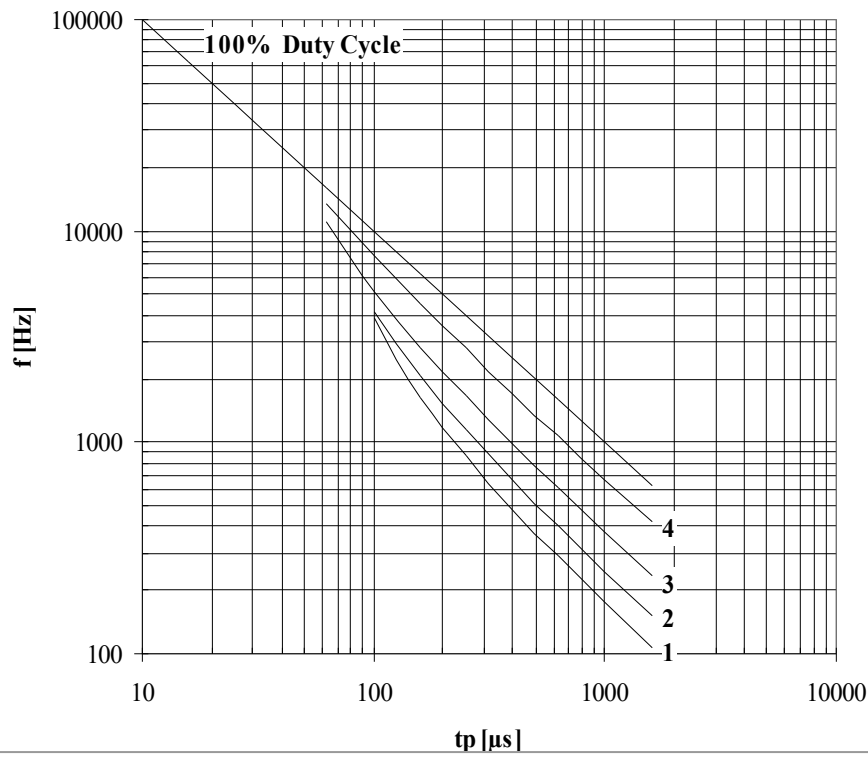


Рис. 14 — Зависимость частоты прямоугольных импульсов тока от длительности импульсов

- 1 - $I_{TM} = 5000$ A
- 2 - $I_{TM} = 4000$ A
- 3 - $I_{TM} = 3000$ A
- 4 - $I_{TM} = 2000$ A

Условия: $U_R \leq 3$ В; $T_C = 55$ °С; $di_F/dt = di_R/dt = 100$ А/мкс

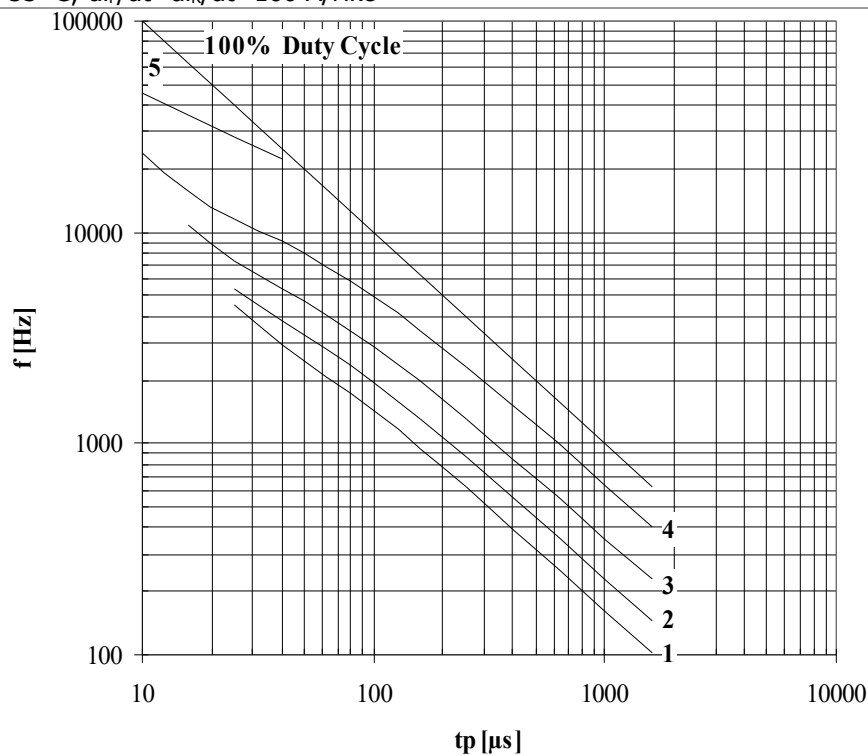


Рис. 15 — Зависимость частоты прямоугольных импульсов тока от длительности импульсов

- 1 - $I_{TM} = 5000$ A
- 2 - $I_{TM} = 4000$ A
- 3 - $I_{TM} = 3000$ A
- 4 - $I_{TM} = 2000$ A
- 5 - $I_{TM} = 1000$ A

Условия: $U_R \leq 3$ В; $T_C = 55$ °С; $di_F/dt = di_R/dt = 500$ А/мкс

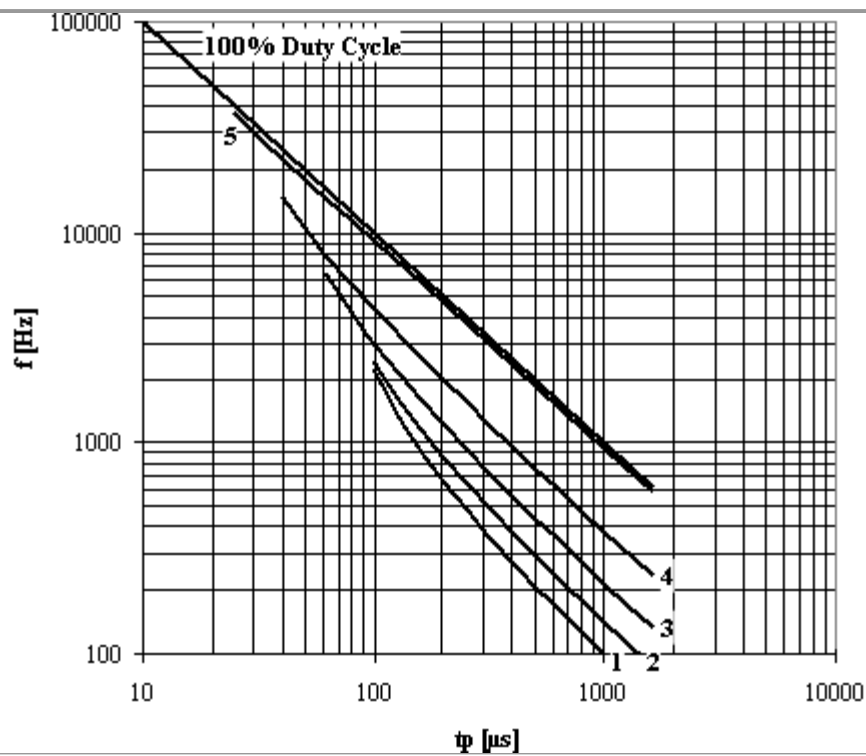


Рис. 16 — Зависимость частоты прямоугольных импульсов тока от длительности импульсов

- 1 - $I_{TM} = 5000$ A
- 2 - $I_{TM} = 4000$ A
- 3 - $I_{TM} = 3000$ A
- 4 - $I_{TM} = 2000$ A
- 5 - $I_{TM} = 1000$ A

Условия: $U_R \leq 3$ В; $T_C = 83$ °С; $di_F/dt = di_R/dt = 100$ А/мкс

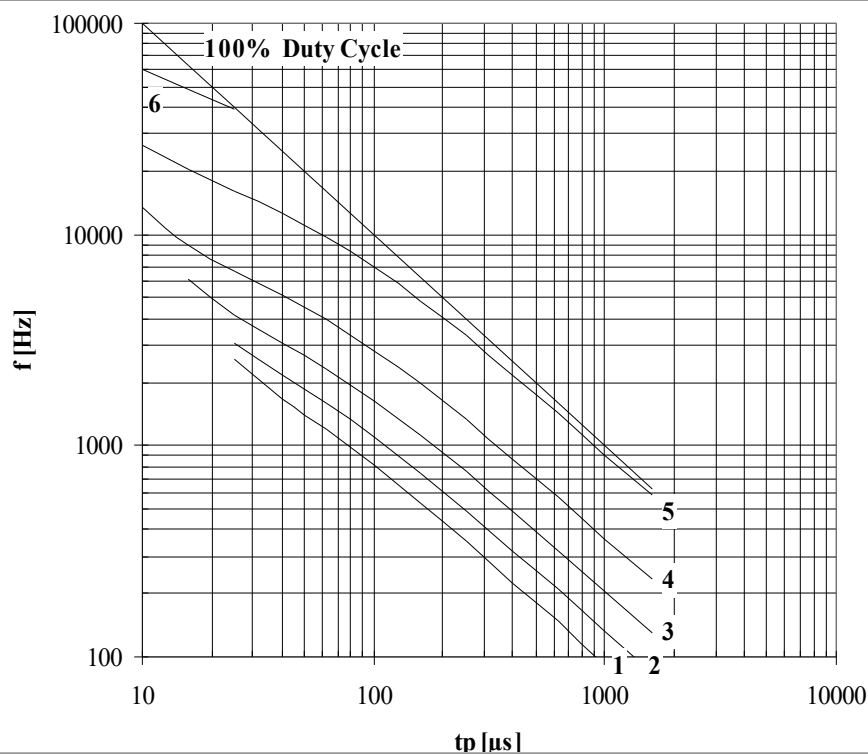


Рис. 17 — Зависимость частоты прямоугольных импульсов тока от длительности импульсов

- 1 - $I_{TM} = 5000$ A
- 2 - $I_{TM} = 4000$ A
- 3 - $I_{TM} = 3000$ A
- 4 - $I_{TM} = 2000$ A
- 5 - $I_{TM} = 1000$ A
- 6 - $I_{TM} = 500$ A

Условия: $U_R \leq 3$ В; $T_C = 83$ °С; $di_F/dt = di_R/dt = 500$ А/мкс

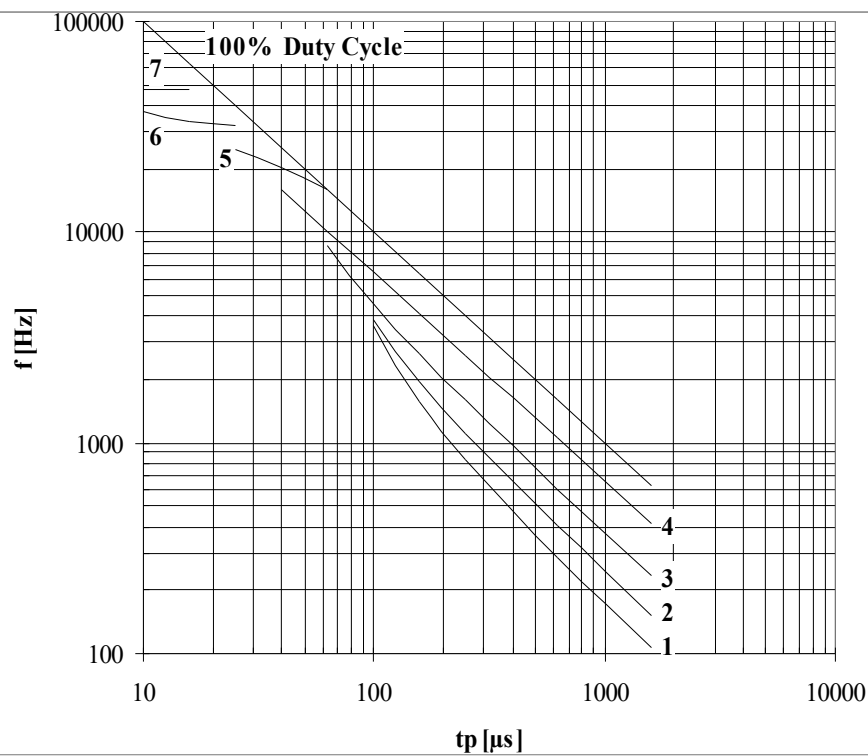


Рис. 18 — Зависимость частоты прямоугольных импульсов тока от длительности импульсов

- 1 - $I_{TM} = 5000 \text{ A}$
- 2 - $I_{TM} = 4000 \text{ A}$
- 3 - $I_{TM} = 3000 \text{ A}$
- 4 - $I_{TM} = 2000 \text{ A}$
- 5 - $I_{TM} = 1000 \text{ A}$
- 6 - $I_{TM} = 500 \text{ A}$
- 7 - $I_{TM} = 250 \text{ A}$

Условия: $U_R = 0.67 \cdot U_{RRM}$; $T_C = 55 \text{ }^\circ\text{C}$; $di_F/dt = di_R/dt = 100 \text{ A}/\mu\text{с}$

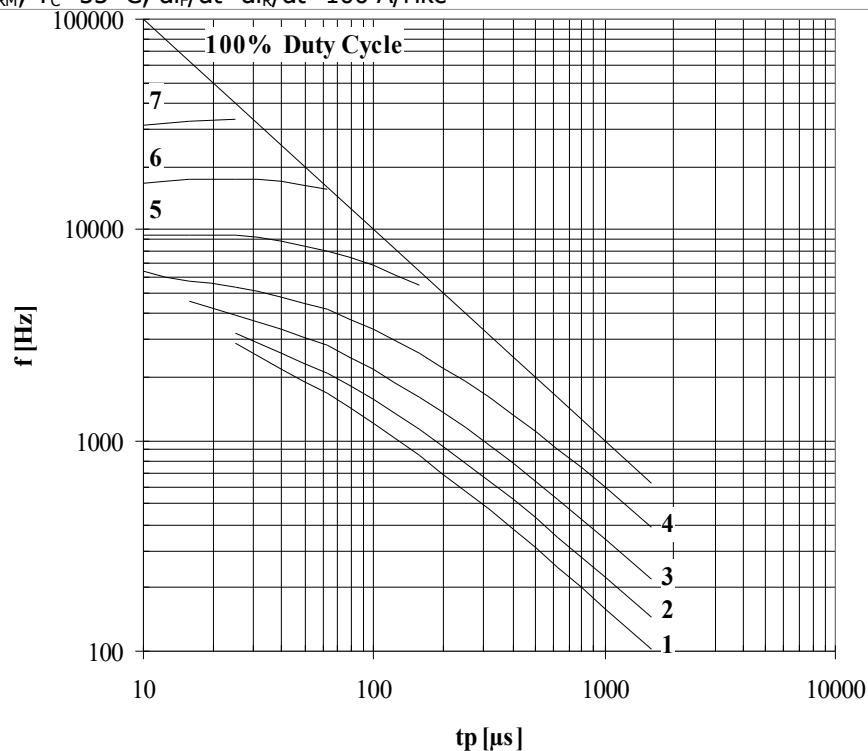


Рис. 19 — Зависимость частоты прямоугольных импульсов тока от длительности импульсов

- 1 - $I_{TM} = 5000 \text{ A}$
- 2 - $I_{TM} = 4000 \text{ A}$
- 3 - $I_{TM} = 3000 \text{ A}$
- 4 - $I_{TM} = 2000 \text{ A}$
- 5 - $I_{TM} = 1000 \text{ A}$
- 6 - $I_{TM} = 500 \text{ A}$
- 7 - $I_{TM} = 250 \text{ A}$

Условия: $U_R = 0.67 \cdot U_{RRM}$; $T_C = 55 \text{ }^\circ\text{C}$; $di_F/dt = di_R/dt = 500 \text{ A}/\mu\text{с}$

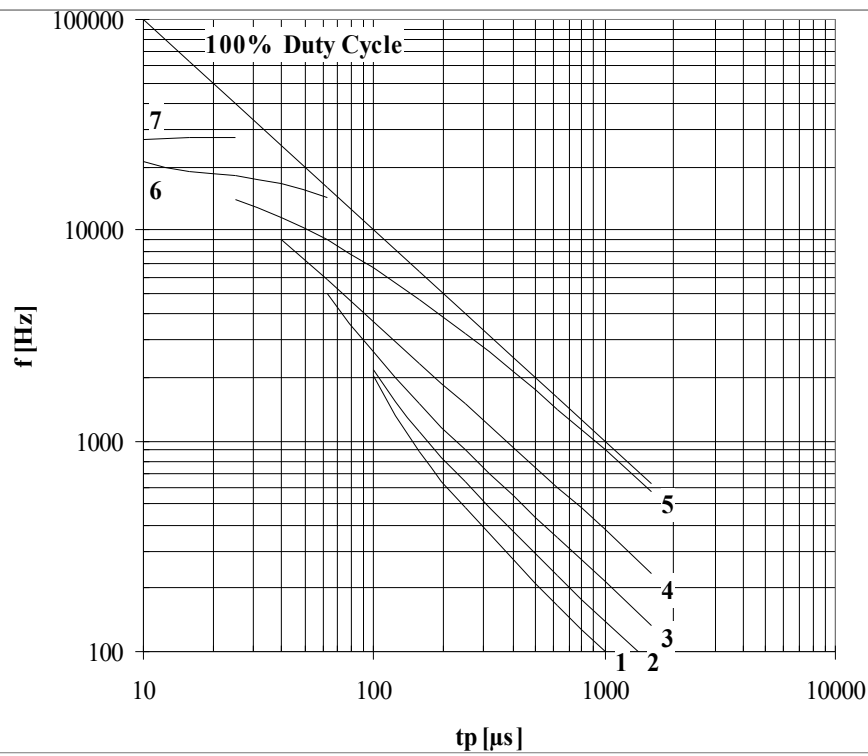


Рис. 20 — Зависимость частоты прямоугольных импульсов тока от длительности импульсов

- 1 - $I_{TM} = 5000 \text{ A}$
- 2 - $I_{TM} = 4000 \text{ A}$
- 3 - $I_{TM} = 3000 \text{ A}$
- 4 - $I_{TM} = 2000 \text{ A}$
- 5 - $I_{TM} = 1000 \text{ A}$
- 6 - $I_{TM} = 500 \text{ A}$
- 7 - $I_{TM} = 250 \text{ A}$

Условия: $U_R = 0.67 \cdot U_{RRM}$; $T_C = 85 \text{ }^\circ\text{C}$; $di_F/dt = di_R/dt = 100 \text{ A/мкс}$

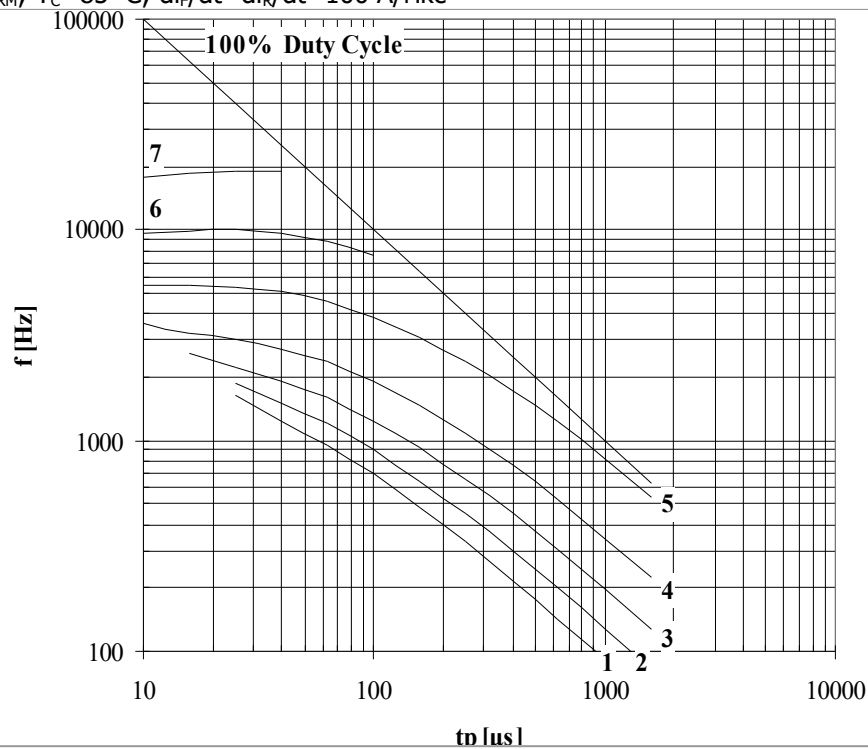


Рис. 21 — Зависимость частоты прямоугольных импульсов тока от длительности импульсов

- 1 - $I_{TM} = 5000 \text{ A}$
- 2 - $I_{TM} = 4000 \text{ A}$
- 3 - $I_{TM} = 3000 \text{ A}$
- 4 - $I_{TM} = 2000 \text{ A}$
- 5 - $I_{TM} = 1000 \text{ A}$
- 6 - $I_{TM} = 500 \text{ A}$
- 7 - $I_{TM} = 250 \text{ A}$

Условия: $U_R = 0.67 \cdot U_{RRM}$; $T_C = 83 \text{ }^\circ\text{C}$; $di_F/dt = di_R/dt = 500 \text{ A/мкс}$

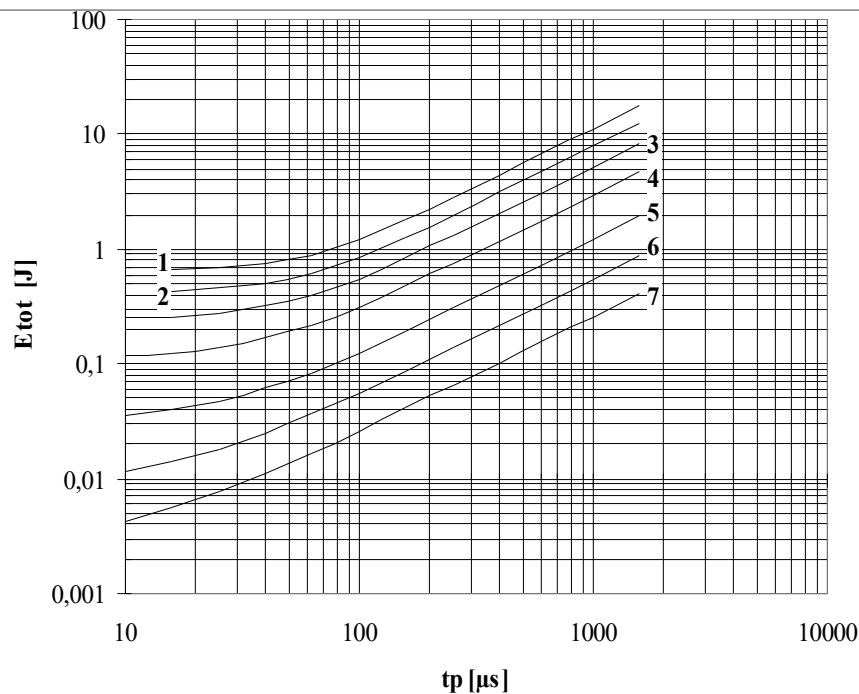


Рис. 22 – Зависимость энергии потерь за один синусоидальный импульс тока от длительности импульса

- 1 – $I_{TM} = 5000 \text{ A}$
- 2 – $I_{TM} = 4000 \text{ A}$
- 3 – $I_{TM} = 3000 \text{ A}$
- 4 – $I_{TM} = 2000 \text{ A}$
- 5 – $I_{TM} = 1000 \text{ A}$
- 6 – $I_{TM} = 500 \text{ A}$
- 7 – $I_{TM} = 250 \text{ A}$

Условия: $U_R \leq 3 \text{ В}$

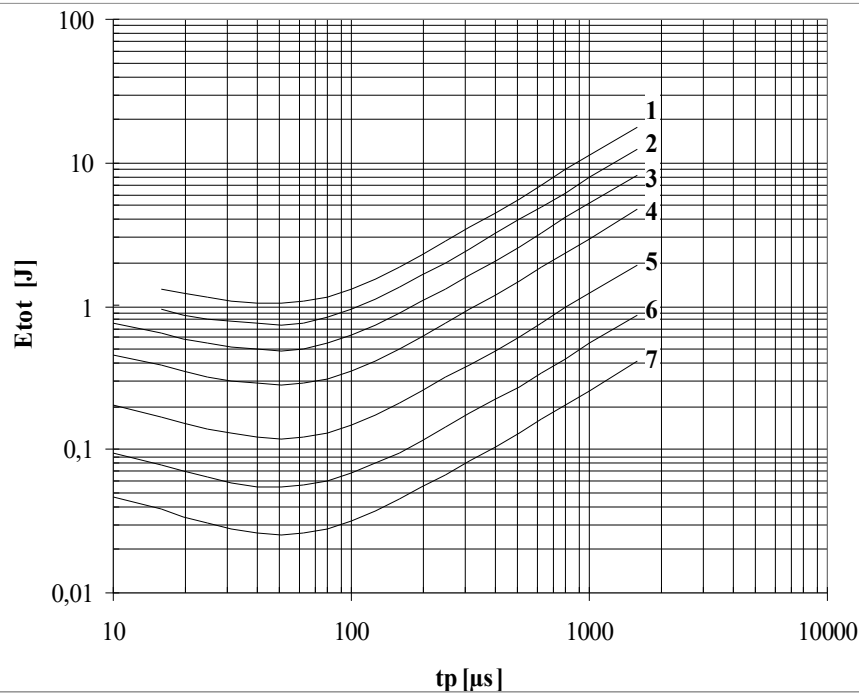


Рис. 23 – Зависимость энергии потерь за один синусоидальный импульс тока от длительности импульса

- 1 – $I_{TM} = 5000 \text{ A}$
- 2 – $I_{TM} = 4000 \text{ A}$
- 3 – $I_{TM} = 3000 \text{ A}$
- 4 – $I_{TM} = 2000 \text{ A}$
- 5 – $I_{TM} = 1000 \text{ A}$
- 6 – $I_{TM} = 500 \text{ A}$
- 7 – $I_{TM} = 250 \text{ A}$

Условия: $U_R = 0.67 \cdot U_{RRM}$

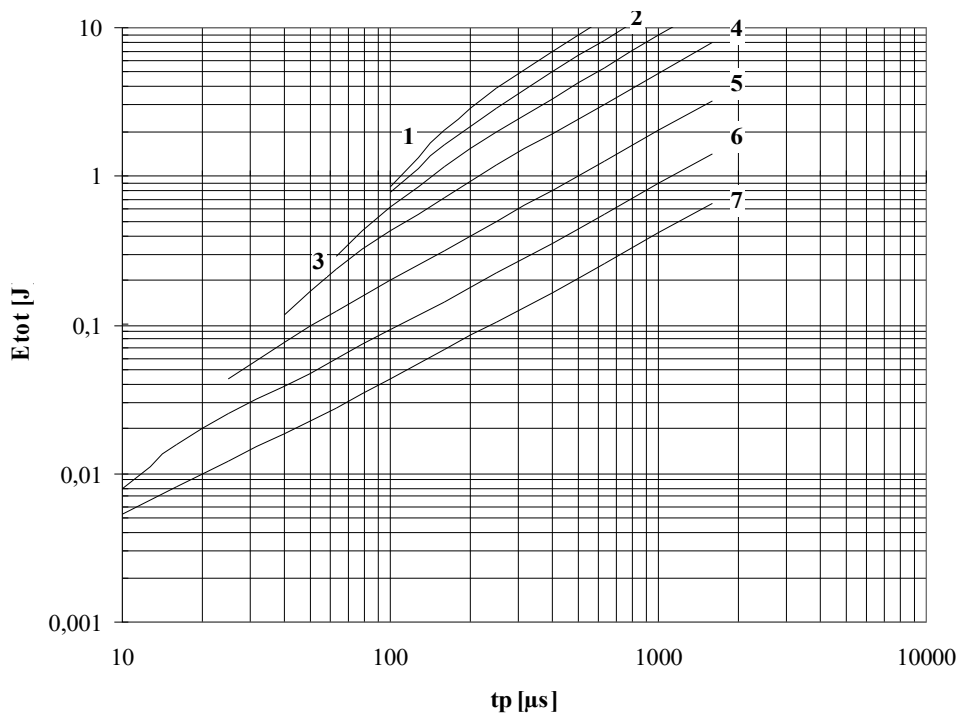


Рис. 24 – Зависимость энергии потерь за один прямоугольный импульс тока от длительности импульса

- 1 – $I_{TM} = 5000 \text{ A}$
- 2 – $I_{TM} = 4000 \text{ A}$
- 3 – $I_{TM} = 3000 \text{ A}$
- 4 – $I_{TM} = 2000 \text{ A}$
- 5 – $I_{TM} = 1000 \text{ A}$
- 6 – $I_{TM} = 500 \text{ A}$
- 7 – $I_{TM} = 250 \text{ A}$

Условия: $U_R \leq 3 \text{ В}$; $di_F/dt = di_R/dt = 100 \text{ А/мкс}$

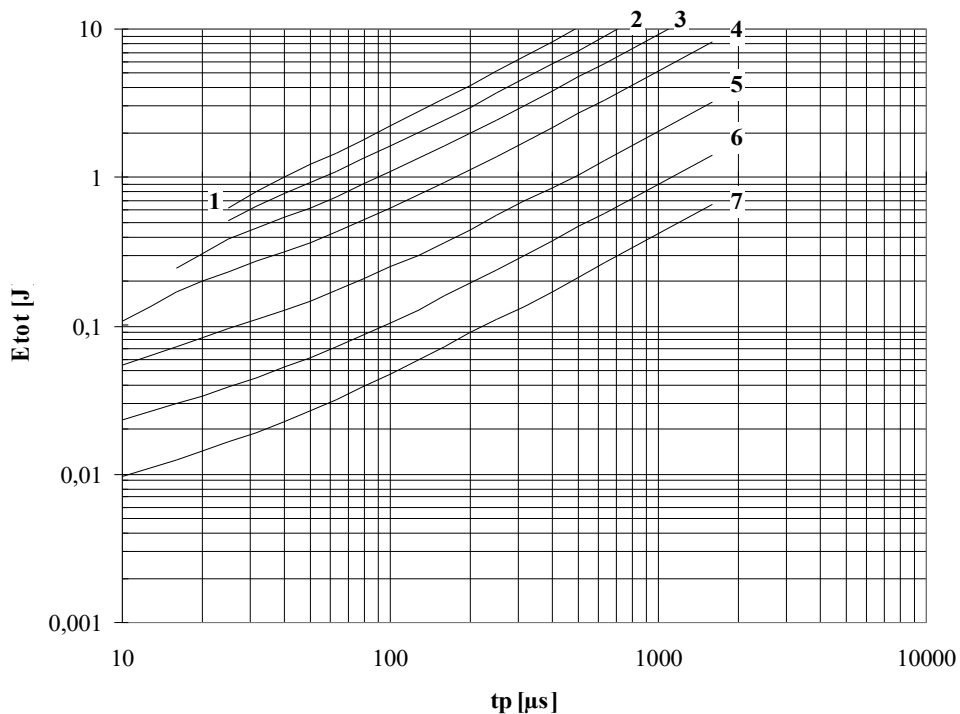


Рис. 25 – Зависимость энергии потерь за один прямоугольный импульс тока от длительности импульса

- 1 – $I_{TM} = 5000 \text{ A}$
- 2 – $I_{TM} = 4000 \text{ A}$
- 3 – $I_{TM} = 3000 \text{ A}$
- 4 – $I_{TM} = 2000 \text{ A}$
- 5 – $I_{TM} = 1000 \text{ A}$
- 6 – $I_{TM} = 500 \text{ A}$
- 7 – $I_{TM} = 250 \text{ A}$

Условия: $U_R \leq 3 \text{ В}$; $di_F/dt = di_R/dt = 500 \text{ А/мкс}$

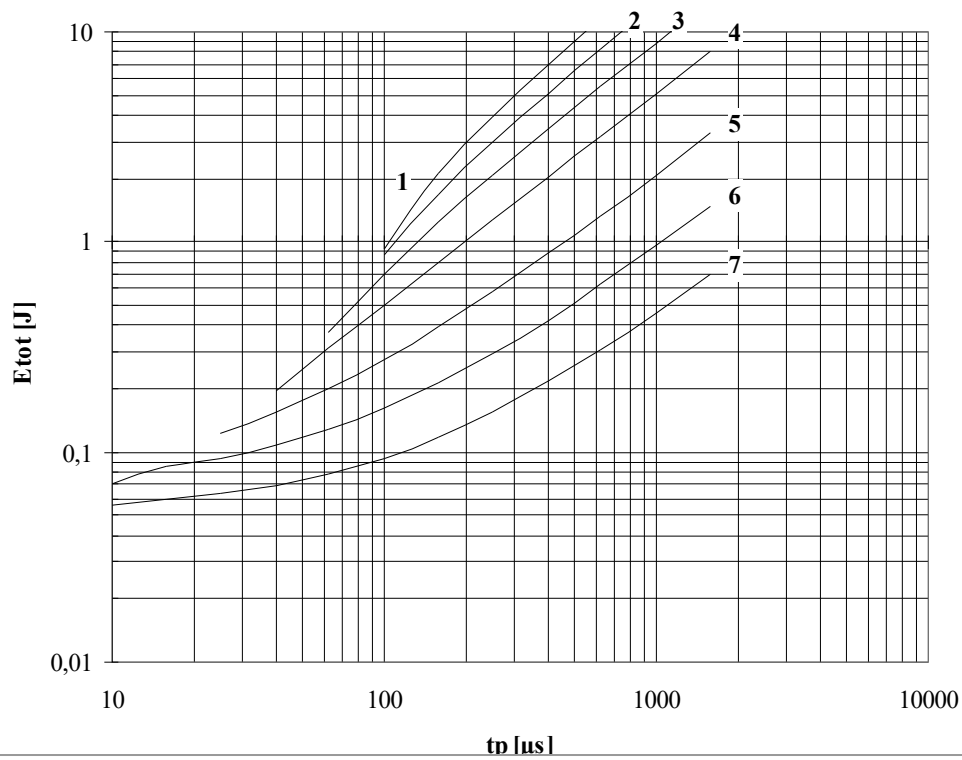


Рис. 26 – Зависимость энергии потерь за один прямоугольный импульс тока от длительности импульса

- 1 – $I_{TM} = 5000 \text{ A}$
- 2 – $I_{TM} = 4000 \text{ A}$
- 3 – $I_{TM} = 3000 \text{ A}$
- 4 – $I_{TM} = 2000 \text{ A}$
- 5 – $I_{TM} = 1000 \text{ A}$
- 6 – $I_{TM} = 500 \text{ A}$
- 7 – $I_{TM} = 250 \text{ A}$

Условия: $U_R = 0.67 \cdot U_{RRM}$; $di_F/dt = di_R/dt = 100 \text{ A/мкс}$

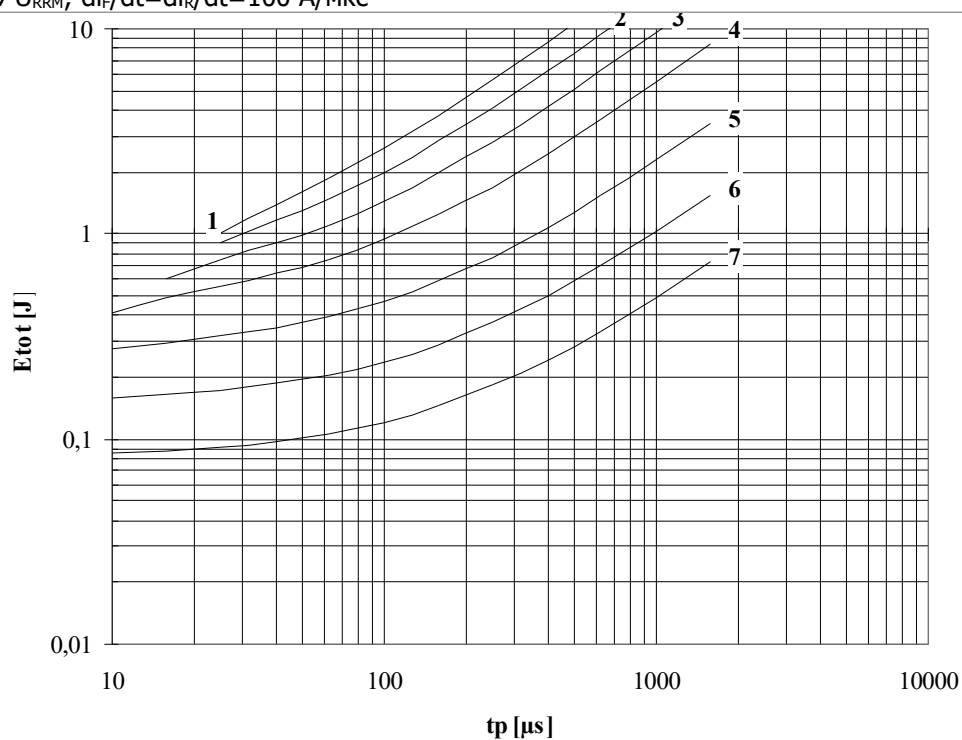


Рис. 27 – Зависимость энергии потерь за один прямоугольный импульс тока от длительности импульса

- 1 – $I_{TM} = 5000 \text{ A}$
- 2 – $I_{TM} = 4000 \text{ A}$
- 3 – $I_{TM} = 3000 \text{ A}$
- 4 – $I_{TM} = 2000 \text{ A}$
- 5 – $I_{TM} = 1000 \text{ A}$
- 6 – $I_{TM} = 500 \text{ A}$
- 7 – $I_{TM} = 250 \text{ A}$

Условия: $U_R = 0.67 \cdot U_{RRM}$; $di_F/dt = di_R/dt = 500 \text{ A/мкс}$

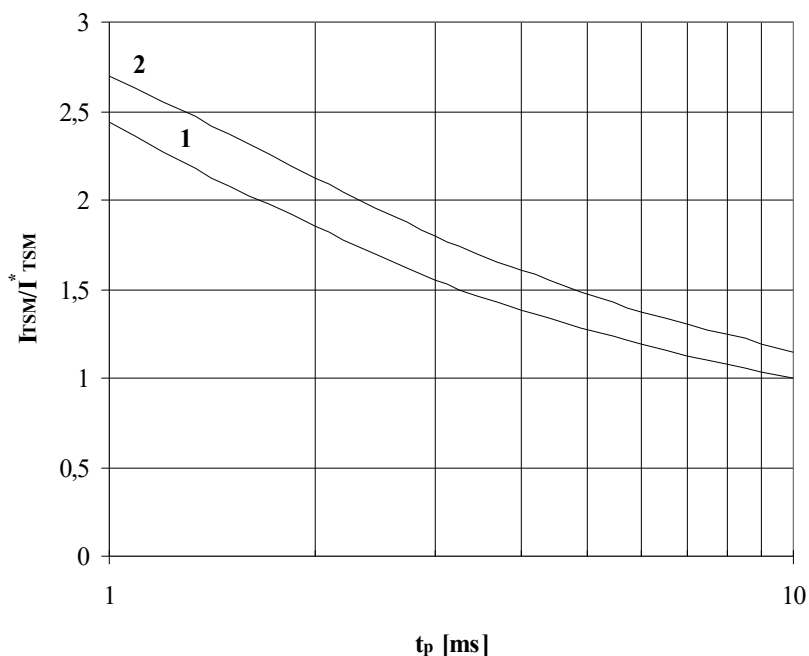


Рис. 28 – Зависимость ударного тока I_{TSM} от длительности импульса t_p для полусинусоидального импульса
 1 – $T_j = 125^\circ\text{C}$
 2 – $T_j = 25^\circ\text{C}$

Условия: $U_R = 0\text{ В}$ – максимальное значение обратного напряжения, которое прикладывается сразу после ударного тока

Типичное изменение I_{TSM} относительно нормированного I_{TSM}^* (I_{TSM}^* – см. информационный лист, $T_j = T_{j\text{max}}$)

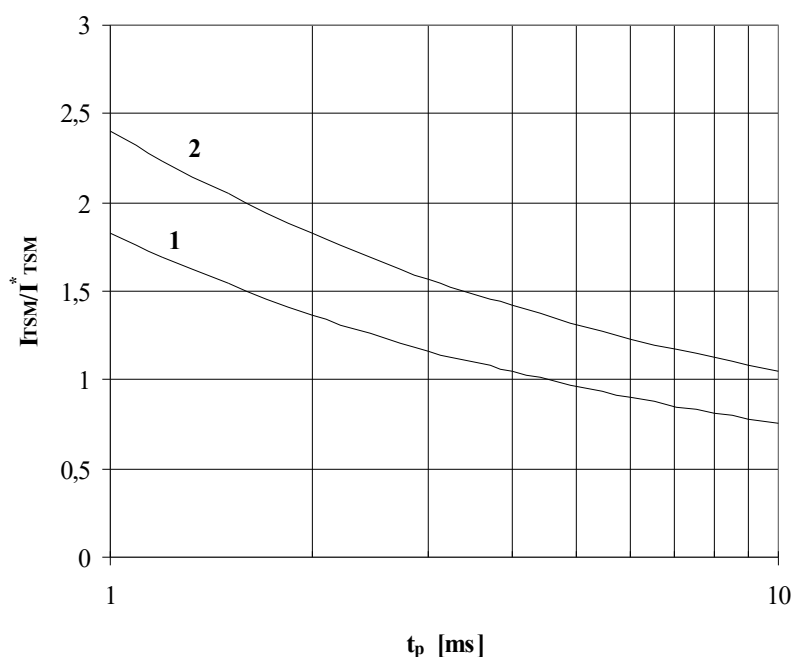


Рис. 29 – Зависимость ударного тока I_{TSM} от длительности импульса t_p для полусинусоидального импульса
 1 – $T_j = 125^\circ\text{C}$
 2 – $T_j = 25^\circ\text{C}$

Условия: $U_R = 0.8 U_{RRM}$ – максимальное значение обратного напряжения, которое прикладывается сразу после ударного тока

Типичное изменение I_{TSM} относительно нормированного I_{TSM}^* (I_{TSM}^* – см. информационный лист, $T_j = T_{j\text{max}}$)

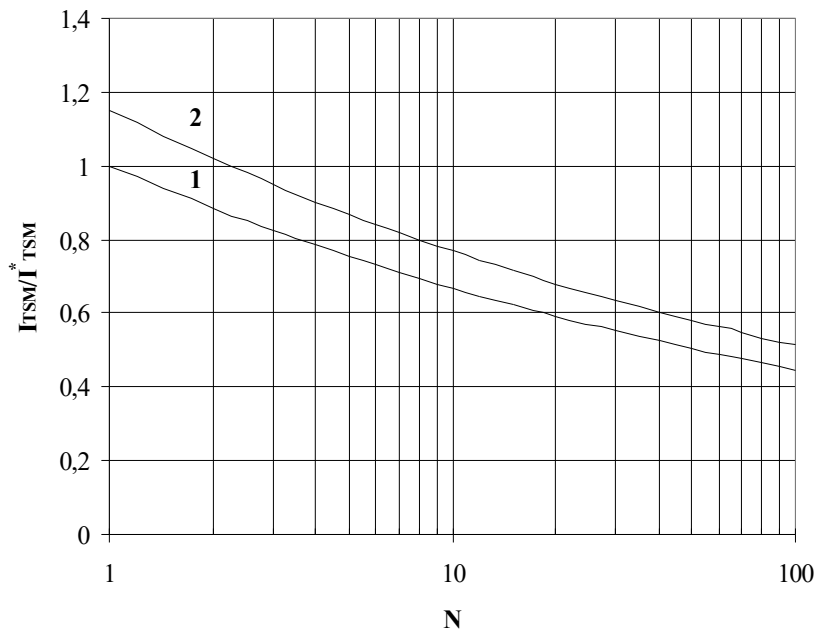


Рис. 30 – Ударный ток I_{TSM} от количества полусинусоидальных импульсов тока длительностью 10 мс
 1 – $T_j=125\text{ °C}$
 2 – $T_j=25\text{ °C}$

Условия: $U_R=0\text{ В}$ – максимальное значение обратного напряжения, которое прикладывается сразу после ударного тока

Типичное изменение I_{TSM} относительно нормированного I_{TSM}^* (I_{TSM}^* – см. информационный лист, $T_j=T_{j\text{ max}}$)

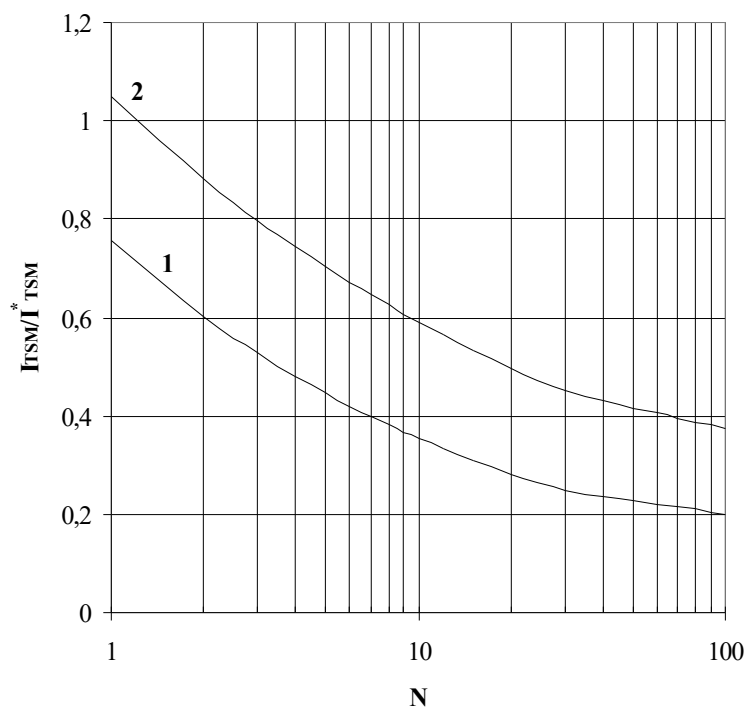


Рис. 31 – Ударный ток I_{TSM} от количества полусинусоидальных импульсов тока длительностью 10 мс
 1 – $T_j=125\text{ °C}$
 2 – $T_j=25\text{ °C}$

Условия: $U_R=0.8 \cdot U_{RRM}$ – максимальное значение обратного напряжения, которое прикладывается сразу после ударного тока

Типичное изменение I_{TSM} относительно нормированного I_{TSM}^* (I_{TSM}^* – см. информационный лист, $T_j=T_{j\text{ max}}$)